© VitisDb 2010-2016 - ISSN 2282-006x

Orisi

Ansaldi G., Barbagallo M. G., Brancadoro L., De Lorenzis G., Di Lorenzo R., Falco V., Fici G., Gagliano F., Marino G., Monteleone G., Pisciotta A., Scienza A., 2015. Orisi. in: Italian Vitis Datababase, www.vitisdb.it. ISSN 2282-006X

release 15/11/2018, **ultimo aggiorn.** 15/11/2018 **url** http://vitisdb.it/accessions/show/16117

Informazioni gestite da

Regione Siciliana **-** Assessorato delle Risorse Agricole e Alimentari - Dip. Interventi Infrastrutturali per l'Agricoltura - Centro per l'Innovazione della Filiera Vitivinicola UOS Marsala
Dipartimento di Scienze Agrarie ed Ambientali - Università degli Studi di Milano
Dipartimento di Scienze Agrarie e Forestali - Università degli Studi di Palermo

Ringraziamenti

Regione Sicilia, Ager Foundation

Informazioni generali

nome Orisi
codice ITA430-2/2
nazione di selezione Italia
regione di selezione Sicilia
provincia di selezione Catania
località di selezione Nebrodi
istituzione custode Regione Siciliana **-** Assessorato delle Risorse Agricole e Alimentari - Dip. Interventi Infrastrutturali per l'Agricoltura - Centro per l'Innovazione della Filiera Vitivinicola UOS Marsala
collezione Biesina - Marsala

Varietà & clone

tipo di origine spontanea
genere Vitis
specie Vitis vinifera
sub specie sativa
varietà Orisi
codice della varietà IVD-var_379
clone non disponibile
trueness to type accertato con microsatelliti

Trueness to type

True-name

confermato	**si**

bibliografia correlata (1)

autori	anno	titolo	rivista	citazione
Ansaldi G., Cartabellotta D., Falco V., Gagliano F., Scienza A.	2014	Identità e ricchezza del Vigneto Sicilia		REGIONE SICILIANA Assessorato Regionale dell'Agricoltura, dello Sviluppo Rurale e della Pesca Mediterranea

Trueness to type accertato con rilievi morfologici (ampelografici)

accertamento con rilievi morfologici (ampelografici)	**non accertato**

Trueness to type accertato con microsatelliti

accertamento con microsatelliti	**accertato**

bibliografia correlata (1)

autori	anno	titolo	rivista	citazione
De Lorenzis G., Las Casas G., Brancadoro L., Scienza A.	2014	Genotyping of Sicilian grapevine germplasm resources (V. vinifera L.) and their relationships with Sangiovese	Scientia Horticulturae	169: 189–198

loci confrontati	n.d.
loci identici	n.d.
discrepanze	n.d.

© VitisDb 2010-2016 - ISSN 2282-006x

Profilo microsatellite standardizzato

loci:	loci predefiniti (9)																	
locus SSR:	VVS2		VVMD5		VVMD7		VVMD27		VrZAG62		VrZAG79		VVMD25		VVMD28		VVMD32	
allele:	A1	A2	A1	A2	A1	A2	A1	A2	A1	A2	A1	A2	A1	A2	A1	A2	A1	A2
dimensione:	133	145	225	239	247	263	179	179	194	196	243	259	240	242	237	261	253	257

Immagini



germoglio



foglia



foglia pagina superiore



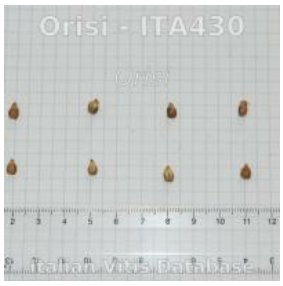
foglia pagina inferiore



grappolo



acino



vinacciolo

Ampelografia

OIV	descrizione	valore		immagini
001	Giovane germoglio: apertura dell’apice	5	completamente aperto	
003	Giovane germoglio: intensità della pigmentazione antocianica dei peli striscianti dell’apice	1	nulla o molto bassa	
004	Giovane germoglio: densità dei peli striscianti dell’apice	5 / 7	media / elevata	
006	Germoglio: portamento (prima della legatura)	1 / 3	eretto / semi-eretto	
007	Germoglio: colore del lato dorsale degli internodi	1	verde	
008	Germoglio: colore del lato ventrale degli internodi	1	verde	
016	Germoglio: numero di viticci consecutivi	1	2 o meno	
051	Foglia giovane: colore della pagina superiore del lembo (4 a foglia)	2	giallo	
053	Foglia giovane: densità peli striscianti tra le nervature principali della pagina inferiore (4a foglia)	7	elevata	
065	Foglia adulta: dimensione del lembo	5 / 3	medio / piccolo	
067	Foglia adulta: forma del lembo	4 / 2	orbicolare / cuneiforme	
068	Foglia adulta: numero dei lobi	2 / 3	tre / cinque	
070	Foglia adulta: distribuzione pigmentazione antocianica nervature principali pagina superiore	1	assente	
072	Foglia adulta: depressioni del lembo	1	assenti o molto deboli	
074	Foglia adulta: profilo del lembo in sezione trasversale	3	involuto	
075	Foglia adulta: bollositá della pagina superiore del lembo	1	nulla o molto bassa	
076	Foglia adulta: forma dei denti	2	entrambi i lati rettilinei	
079	Foglia adulta: grado di apertura / sovrapposizione dei bordi del seno peziolare	3 (⊘ 5)	aperto	
080	Foglia adulta: forma della base del seno peziolare	3 / 1	a V / a U	

081-1	Foglia adulta: denti del seno peziolare	1 (⊘ 9)	assenti	
081-2	Foglia adulta: base del seno peziolare delimitata dalla nervatura	1	non delimitata	
083-1	Foglia adulta: forma della base dei seni laterali superiori	3	a V	
083-2	Foglia adulta: denti nei seni laterali superori	1	assenti	
084	Foglia adulta: densità dei peli striscianti tra le nervature principali sulla pagina inferiore del lembo	7	elevata	
087	Foglia adulta: densità dei peli eretti sulle nervature principali della pagina inferiore del lembo	1	nulla o molto bassa	
093	Foglia adulta: lunghezza del picciolo in rapporto alla lunghezza della nervatura mediana	5 / 7	uguale / leggermente più lungo	
094	Foglia adulta: profondità dei seni laterali superiori	3 / 1	poco profondo / assente o molto poco profondo	
151	Fiore: organi sessuali	3	stami completamente sviluppati e gineceo completamente sviluppato	
202	Grappolo: lunghezza (escluso il peduncolo)	5	medio	
204	Grappolo: compattezza	5 / 7	medio / compatto	
208	Grappolo: forma	1 / 2	cilindrico / conico	
209	Grappolo: numero di ali del grappolo principale	2	1 - 2 ali	
220	Acino: lunghezza	5	medio	
221	Acino: larghezza	5	medio	
223	Acino: forma	3	ellissoidale largo	
231	Acino: intensità della pigmentazione antocianica della polpa	1	nulla o molto debole	
236	Acino: particolarità dell'aroma	1	nessuna	
241	Acino: sviluppo dei vinaccioli	3	completo	

Ampelometria

OIV

OIV	PDF	descrizione	valore	
601	PDF	Foglia adulta: lunghezza della nervatura N1	(⊘94.55)	
602	PDF	Foglia adulta: lunghezza della nervatura N2	(⊘84.34)	
603	PDF	Foglia adulta: lunghezza della nervatura N3	(⊘63.40)	
604	PDF	Foglia adulta: lunghezza della nervatura N4	(⊘41.22)	
605	PDF	Foglia adulta: distanza dal seno peziolare al seno laterale superiore	(⊘49.41)	
606	PDF	Foglia adulta: distanza dal seno peziolare al seno laterale inferiore	(⊘49.83)	
607	PDF	Foglia adulta: angolo tra N1 e N2 misurato alla prima biforcazione	(⊘59.56)	
608	PDF	Foglia adulta: angolo tra N2 e N3 misurato alla prima biforcazione	(⊘51.83)	
609	PDF	Foglia adulta: angolo tra N3 e N4 misurato alla prima biforcazione	(⊘55.16)	
611	PDF	Foglia adulta: lunghezza della nervatura N5	(⊘19.48)	
617	PDF	Foglia adulta: distanza tra l'estremitá di N2 e l'estremitá della prima nervatura secondaria di N2	(⊘41.58)	
618	PDF	Foglia adulta: apertura/sovrapposizione del seno peziolare	(⊘-11.99)	

Superampelo

distanze		
descrittore	valore	deviazione standard
Distanza dal seno peziolare al seno inferiore sinistro	49.990	7.460
Distanza dal seno peziolare al seno inferiore destro	49.680	5.340
Distanza dal seno peziolare al seno superiore sinistro	47.670	9.620
Distanza dal seno peziolare al seno superiore destro	51.140	8.740
Nervatura N3', lunghezza dal seno peziolare alla nervatura N4'	9.350	2.470
Nervatura N3, lunghezza dal seno peziolare alla nervatura N4	8.810	2.930
Lunghezza della nervatura N5'	20.180	3.770
Lunghezza della nervatura N5	18.780	3.450
Lunghezza della nervatura N4'	41.480	5.090
Lunghezza della nervatura N4	40.950	4.900
Distanza tra punto peziolare ed estremità della nervatura N4'	48.610	6.100
Distanza tra punto peziolare ed estremità della nervatura N4	47.550	6.250
Lunghezza della foglia	139.060	12.390
Larghezza della foglia	129.400	15.060
Lunghezza della foglia compreso il picciolo	175.700	22.330
Lunghezza del picciolo	81.150	16.480
Lunghezza della nervatura N1	94.550	7.150
Distanza tra gli estremi delle nervature N2 e N2'	122.230	16.800
Distanza tra gli estremi delle nervature N3 e N3'	124.170	11.830
Distanza tra gli estremi delle nervature N4 e N4'	49.770	10.370
Larghezza del seno peziolare / Distanza tra i punti SP e SP'	-11.170	4.840
Lunghezza della nervatura N2	84.050	8.220
Lunghezza della nervatura N2'	84.630	7.870
Lunghezza della nervatura N3	63.570	7.080
Lunghezza della nervatura N3'	63.230	7.650
Distanza tra estremità di N2 e estremità della prima ramificazione laterale di N2	41.020	7.970
Distanza tra estremità di N2' e estremità della prima ramificazione laterale di N2'	42.150	9.670

angoli		
descrittore	valore	deviazione standard
Angolo tra N1 e N2 misurato alla prima biforcazione	58.320	7.470
Angolo tra N1 e N2' misurato alla prima biforcazione	60.790	8.390
Angolo tra N2 e N3 misurato alla prima biforcazione	52.320	9.530
Angolo tra N2' e N3' misurato alla prima biforcazione	51.350	5.210
Angolo tra N3 e N4 alla prima biforcazione di N3	56.080	7.660
Angolo tra N3' e N4'	54.230	6.830
Angolo tra N1 e N2 misurato agli estremi delle nervature	46.320	6.250
Angolo tra N1 e N2' misurato agli estremi delle nervature	46.600	6.320
Angolo tra N2 e N3 misurato agli estremi delle nervature	52.880	3.530
Angolo tra N2' e N3' misurato agli estremi delle nervature	53.080	6.600
Angolo tra N3 e N4 misurato agli estremi delle nervature	49.150	6.450
Angolo tra N3' e N4' misurato agli estremi delle nervature	48.950	4.730
Angolo di apertura del seno peziolare misurato a SP e SP'	31.610	17.650
Angolo tra D e D' con centro in N1	103.220	6.510
Angolo tra S e S' con centro in N1	56.610	14.440
Angolo tra I e I' con centro in N1	54.250	4.880
Angolo tra N3 e la tangente tra il punto peziolare e l'estremità N5	69.490	7.540
Angolo tra N3' e la tangente tra il punto peziolare e l'estremità N5'	71.370	7.820

rapporti		
descrittore	valore	deviazione standard
Rapporto tra la lunghezza della nervatura N4' e la lunghezza della nervatura N1	0.440	0.060
Rapporto tra la lunghezza della nervatura N4 e la lunghezza della nervatura N1	0.430	0.040
Rapporto tra la lunghezza della nervatura N3' e la lunghezza della nervatura N1	0.670	0.060
Rapporto tra la lunghezza della nervatura N3 e la lunghezza della nervatura N1	0.670	0.050
Rapporto tra la lunghezza della nervatura N2' e la lunghezza della nervatura N1	0.900	0.060
Rapporto tra la lunghezza della nervatura N2 e la lunghezza della nervatura N1	0.890	0.060
Rapporto tra la distanza dal seno peziolare al seno inferiore sinistro OI' e la lunghezza della nervatura N3'	0.790	0.080
Rapporto tra la distanza dal seno peziolare al seno inferiore destro OI e la lunghezza della nervatura N3	0.780	0.040
Rapporto tra Lunghezza e larghezza della foglia	1.080	0.070
Rapporto tra la lunghezza del picciolo OP e la lunghezza della nervatura N1	0.850	0.140
Rapporto tra la distanza dal seno la lunghezza della nervatura N2	0.610	0.110
Rapporto tra la distanza dal seno peziolare la lunghezza della nervatura N2'	0.570	0.130
Rapporto tra l'altezza e la base del dente all'estremità della nervatura N4'	0.820	0.210
Rapporto tra l'altezza e la base del dente all'estremità della nervatura N4	0.760	0.130
Rapporto tra l'altezza e la base del dente all'estremità della nervatura N2'	0.760	0.210
Rapporto tra l'altezza e la base del dente all'estremità della nervatura N2	0.760	0.220
Rapporto tra la somma degli angoli a' + b' e la somma della distanza tra il seno peziolare e il seno superiore sinistro OS' e il seno peziolare e il seno inferiore sinistro OI'	0.020	0.000
Rapporto tra la somma degli angoli a + b e la somma della distanza tra il seno peziolare e il seno superiore destro OS e il seno peziolare e il seno inferiore destro OI	0.020	0.000
Rapporto tra la lunghezza della nervatura N5' e la lunghezza della nervatura N1	0.210	0.040
Rapporto tra la lunghezza della nervatura N5 e la lunghezza della nervatura N1	0.200	0.040

Fenologia & produzione

OIV	descrizione	valore	
301	Epoca di germogliamento	5	media
303	Epoca d´inizio dell´invaiatura	5	medio
351	Vigoria del germoglio	5 / 3	media (70-80 g) / bassa (50-60 g)
502	Grappolo: peso di un grappolo	3	basso (250-350 g)
503	Acino: peso di un acino	3	basso (2,5-3,5 g)
505	Tenore in zucchero del mosto	7	elevato (20,2-21,8)
506	Acidità totale del mosto	3	bassa (5,2-6,8)
508	pH del mosto	5	medio (3,2-3,3)

Vegeto-produttivo

sesto di impianto e forma di allevamento	valore	deviazione standard	numero di anni
Forma di allevamento	controspalliera		
Sistema di potatura			
Distanza tra le file (m)	2.400		
Distanza sulla fila (m)	0.900		

vigore	valore	deviazione standard	numero di anni
Numero germogli/tralci per pianta (numero/pianta)	11.400	1.980	2
Numero germogli/tralci per metro di filare (numero/m)	12.670	2.200	2
Peso legno di potatura per pianta (kg)	0.570	0.140	2
Peso medio tralcio (g)	46.440	8.120	2
Peso legno di potatura per metro di filare (kg)	0.630	0.160	2

fertilità	valore	deviazione standard	numero di anni
Numero infiorescenze per germoglio alla fioritura (numero/germoglio)	1.640	0.230	2
Fertilità basale (grappoli/gemma)	1.550	0.210	2

quantità produzione	valore	deviazione standard	numero di anni
Numero grappoli per pianta (numero/pianta)	16.200	3.110	2
Peso medio grappolo (g)	254.500	2.120	2
Numero grappoli per metro lineare (numero/m)	18.000	3.460	2
Peso di 100 acini (g)	290.000	29.000	4
Produzione per pianta (kg/ceppo)	4.110	0.810	2
Produzione per metro di filare (kg/m)	4.560	0.900	2
Produzione per ettaro (t/ha)	19.008	37.590	2
Diametro acino (media di 25 acini) - larghezza (mm)	15.800	0.420	2
Diametro acino (media di 25 acini) - lunghezza (mm)	17.780	0.160	2

qualità produzione	valore	deviazione standard	numero di anni
Tenore in zucchero del mosto (°Brix)	19.840	0.460	3
Acidità titolabile del mosto (g/l)	6.200	0.200	3
pH (pH)	3.310	0.070	2
Antociani totali bucce (g/kg)	0.320	0.160	2

Polifenoli uve

acidi idrossicinnamiltartarici	buccia (mg/kg) (dev.st)	vinacciolo (mg/kg) (dev.st)	polpa (mg/kg) (dev.st)
ac. trans p-cumariol tartarico	18.08		
ac. trans feruril tartarico	1.40		
ac. trans caffeil tartarico	23.19		
ac. cis p-cumariol tartarico	6.92		

flavonoli	buccia (mg/kg) (dev.st)	vinacciolo (mg/kg) (dev.st)	polpa (mg/kg) (dev.st)
campferolo monoglucoside	1.31		
quercetina monoglucoside	11.70		
quercetina glucuronide	8.89		
miricetina monoglucoside	5.31		

Aromi uve

norisoprenoidi	liberi (mg/kg) (dev.st)	idrolisi enzimatica (mg/kg) (dev.st)	idrolisi acida (mg/kg) (dev.st)
vomifoliolo		139.6200	
3-oxo-a-ionolo		32.9500	
3,9-diidrossimegastigma-5-ene		14.9300	
3-idrossi-b-damascone		7.0800	

monoterpeni	liberi (mg/kg) (dev.st)	idrolisi enzimatica (mg/kg) (dev.st)	idrolisi acida (mg/kg) (dev.st)
cis-8-idrossi-linalolo		3.0100	
nerolo		3.7700	
cis-furanlinalolossido (ossido B)		4.3200	
trans-piranlinalolossido (ossido C)		10.5100	
p-menten-1-ene-7,8-diolo		43.5200	
geraniolo		27.1900	
trans-furanlinalolossido (ossido A)		10.3500	
8-idrossi-diidrolinalolo		42.9200	
a-terpineolo		24.7300	
2,6-dimetil-3,7-octadien-2,6-diolo (diolo 1)		4.9600	
geraniale		2.0100	
acido geranico		12.9000	
linalolo		0.9500	
trans-8-idrossi-linalolo		4.0200	
cis-piranlinalolossido (ossido D)		0.8400	

derivati benzene	liberi (mg/kg) (dev.st)	idrolisi enzimatica (mg/kg) (dev.st)	idrolisi acida (mg/kg) (dev.st)
2-feniletanolo		121.8200	
acetovanillone		31.5400	
eugenolo		5.6200	
metilsalicilato		3.7200	
alcool diidroconiferillico		33.1700	
alcool benzilico		174.2400	

Note aromi

Il profilo terpenico delle uve di questa cultivar è caratterizzato dalla maggiore importanza dei composti terpenici ciclici (a-terpineolo e p-ment-1-ene-7,8-diolo) e diidrossilati (limitatamente all'8-idrossi-diidrolinalolo) sui mono e diidrossilati. Il tenore in geraniolo, tuttavia, supera quello dell'a-terpineolo. Il rapporto fra gli isomeri trans e cis degli ossidi furanici del linalolo, fra gli isomeri trans e cis degli ossidi piranici del linalolo e fra gli isomeri trans e cis dell'8-idrossi linalolo è maggiore di 1, fra linalolo e geraniolo minore di 1. Difficilmente dalle uve di questa cultivar potranno avere origine vini dotati di aromi fiorali. Anche i contenuti in precursori dei norisoprenoidi e dei benzenoidi, piuttosto bassi, non consentono di prevedere aromi particolari dei vini dovuti alle suddette classi di composti.

Altri descr.

nessun "altro" descrittore disponibile per Orisi

Accessioni della medesima varietà (1)

- Orisi - Regione Siciliana - Assessorato delle Risorse Agricole e Alimentari - Dip. Interventi Infrastrutturali per l'Agricoltura - Centro per l'Innovazione della Filiera Vitivinicola UOS Marsala